

山梨大学工学部正員 平島 健一
山梨大学大学院学生員。肉田 諒
山梨大学大学院学生員 照山 修

1. 緒言

岩盤内の初期応力を測定する方法は従来より各種の方法が考案されてゐるが、川本博士の考案には「部分的応力解放法」がある。¹⁾ これは既設のボアホールと測定側面し、それに隣接する第2のボアホールと削除する²⁾ により、2孔孔の相互干涉による応力集中を利用して、初期応力の部分的解放を行なう。岩盤内部の初期応力を測定(算定)しようとするものである。この方法は、応力解放による応力、変形あるいはひずみの変化をノルマ定法に比較して小さく、測定誤差による影響を受けやす³⁾ り難点はあるものの、簡便な方法であり実用的使用方法としてこの価値は充分にあると考えらる。

と = 3で、著者の一人は先に、実際の岩盤の力学的性質をより正確に導入するためのまず第一歩として、岩盤と等価的一般的な三次元弾塑性体と仮定して、单一のボアホール内に埋設接着した solid が測定装置用いたり、あるいは“剛性測定法”ならびに、单一あるいは複数のボアホール内の変形（直径変化量、軸方向変形量）、周囲ひずみの測定を行なう、あるいは“柔軟測定法”の両方法によつて岩盤内部の初期応力、変動応力を求めるための理論的な解析方法などじかにその具体的な手順についての考察結果を発表した。^{2,3)} 同時に、著者の一人はまた、2～3個の複数の孔（円孔または横内孔）が存在する一般的な三次元弾塑性体の無限遠より三次元的荷重が作用する場合の応力、変形状態の理論解析の可能性を明らかにした。^{4,5)} したがつて、本文では、はじめに述べた“部分的応力解放法”による三次元弾塑性岩盤の初期応力測定のための基礎資料の一例を紹介しようとするものである。さらにまた、第2のボアホールに curved jack を挿入設置して“部分的応力回復法”によつて新しく“応力測定法”的可能性を明らかに応力測定の精度検証、向上をめざすことを自慢しようとするものである。

2. 部分的応力解放法の概略¹²⁾

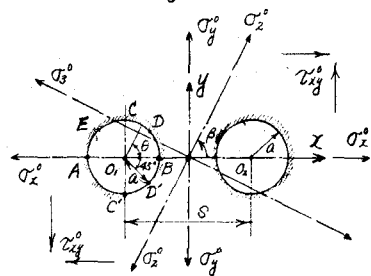
Fig.1に示すように、まず第1のボアホール(左側内孔)と敲け、この内孔の内部に変位計あるいはひずみ計と接着したのち、平行に第2のボアホール(ひずみ計同様でなくでよい)と開削するにより応力変形の再配分が生じ、第1のボアホール内に設置した測定計器には、その地盤の地山応力に関連した応答が生じることになる。例えば、2次主応力の方向が図のように対称軸と傾斜して“ β ”ときには、主応力(σ_x, σ_y)を分解して又座標系の基本応力($\sigma_x, \sigma_y, \tau_{xy}$)に置きかえることが出来、Fig.1のようの場合、次の関係式が成立する。

$$\sigma_x^o = \frac{1}{2} \left\{ -(\sigma_2^o - \sigma_3^o) + \sigma_2^o \cot \beta + \sigma_3^o \tan \beta \right\} \sin 2\beta, \quad \sigma_y^o = \frac{1}{2} \left\{ -(\sigma_2^o - \sigma_3^o) + \sigma_2^o \tan \beta + \sigma_3^o \cot \beta \right\} \sin 2\beta, \quad \tau_{xy} = \frac{1}{2} (\sigma_2^o - \sigma_3^o) \sin 2\beta. \quad \dots \quad (1)$$

= 4.5 の応力と内孔の周縁応力 σ_0 との間に、一般次式のような関係が存在する。

は、係数 a , b , c は内孔周縁上の位置(θの値)と2内孔の位置関係(δ₂₁₀)によって定まる応力係数および3定数である。川本博士は光弾性実験法によって、これら3定数を求めてある。まず水平にして、 $\gamma = 45^\circ$ の定数が内孔周縁の特定点(例えばFig.1のA, B, C, D)において何らかの方法で求まるとすれば、第2のボアホールを設けたときの応力と第1のボアホールのみのときの応力との差から、 $\gamma = 45^\circ$ の変換を行なうことによつて主応力(σ_x^*, σ_y^*)の大きさと方向βを理論的に計算することができる。また、範囲のある断面内の少しあくとも3

Fig. 1



点において、2次主応力を上式したところ求め、1次主応力を求めるための変換式を利用すれば、その地点における初期応力が算定可能。

3. 異方性岩盤への拡張

前節で略述した部分的応力解放法によ

る初期応力の手順は、 $\sigma_x = \sigma_y$ の場合と異

方性岩盤にはほぼそのままの形で適用できること

とは、他の測定法の算定法のものから異方性

性体のものへの適用性を同じである。ただし、

(2) 式の代りに、 $\sigma_x = \sigma_y$ の場合、一般的に

$$\sigma_0 = a_1 \sigma_x^2 + a_2 \sigma_y^2 + a_3 \sigma_z^2 + a_4 \sigma_{xy}^2 + a_5 \sigma_{xz}^2 + a_6 \sigma_{yz}^2$$

の形で表される、 a_1, a_2, \dots, a_6 はθの値、

$\frac{\pi}{2}\alpha$ の値のみならず、対象とする岩盤の異方性

弹性定数は3つともそれらの複斜角にも依存す

る。

例えれば、Fig. 2(a), (b) 及び(3)式の 3 つの弹性定数

(直交異方性体)の場合で、円孔より充分離れて 5.0

た位置に σ_x, σ_y が作用した場合の孔周縁応力 σ_r

力 σ_r の特定点 (A, B, C, D, E) の値は異方性 α

弹性定数比 $e = \frac{E_x}{E_y}$ とパラメータとして θ

によって決まる。

$$E_x = 0.60 \times 10^5 \text{ kg/cm}^2, E_y = 0.150, \quad \dots \quad (3)$$

$$\frac{1}{e} = \frac{1}{E_x} + \frac{1}{E_y} + 2\frac{v_{xy}}{E_x}, \quad \dots \quad (3)$$

Fig. 3(a), (b) は左側の孔の半径方向変位 u_r

と Fig. 2 の場合と同様にプロットしたもので $\alpha = 1.0$

である。 $\alpha = 45^\circ$ の図があるが Fig. 4 の孔縁直ひずみの図を利用するれば、変位計、ひずみ計での u_r

測定値を利用して直接、応力算定が可能になる。

4. 結言

その他の計算図表、具体的な初期応力の算定例ならびに第 2 のボアホール 11^{th} curved jack を用いた“部分的応力回復法”的実験手順その他については講演会当日に発表する予定である。

参考文献:

- 1) 木戸方、高橋由行; 土木学会論文集, No. 146 (1967) pp. 22~27
- 2) Y. Niwa and K. Hirashima; Mem. Fac. Eng., Kyoto Univ. Vol. 33 (1971) pp. 281~232
- 3) 平島健一; 古賀明; 第4回岩の力学国内シンポジウム, (1973) pp. 13~17
- 4) 丹羽義次、平島健一; 土木学会論文報告集, No. 196 (1971) pp. 9~18.
- 5) K. Hirashima; 土木学会論文報告集, No. 220 (1973) pp. 131~141
- 6) 平島健一、丹羽義次; 材料, Vol. 23 No. 248 (1974), pp. 349~354
- 7) 第7回岩盤力学シンポジウム, 土木学会 (1972) pp. 21~24

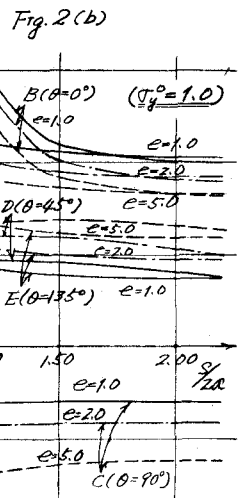
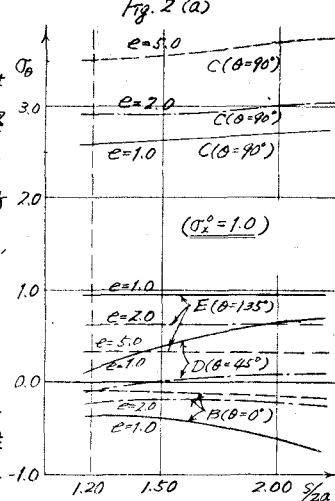


Fig. 3(a)

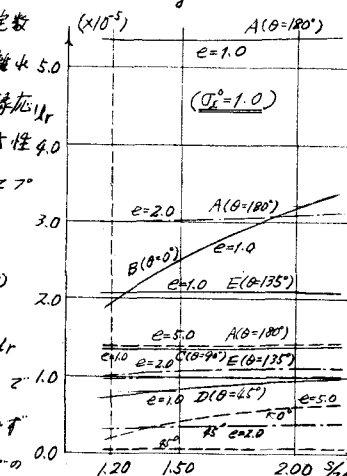


Fig. 3(b)

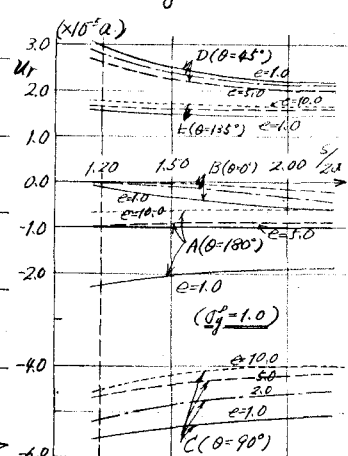


Fig. 4

